

LHC-ATLAS実験における $H \rightarrow \tau\tau \rightarrow lelep$ を用いたヒッグス粒子 の探索

森永真央、中村浩二^A、田中純一^A、浅井祥仁
東京大理、東大素セ^A

27aFA-11

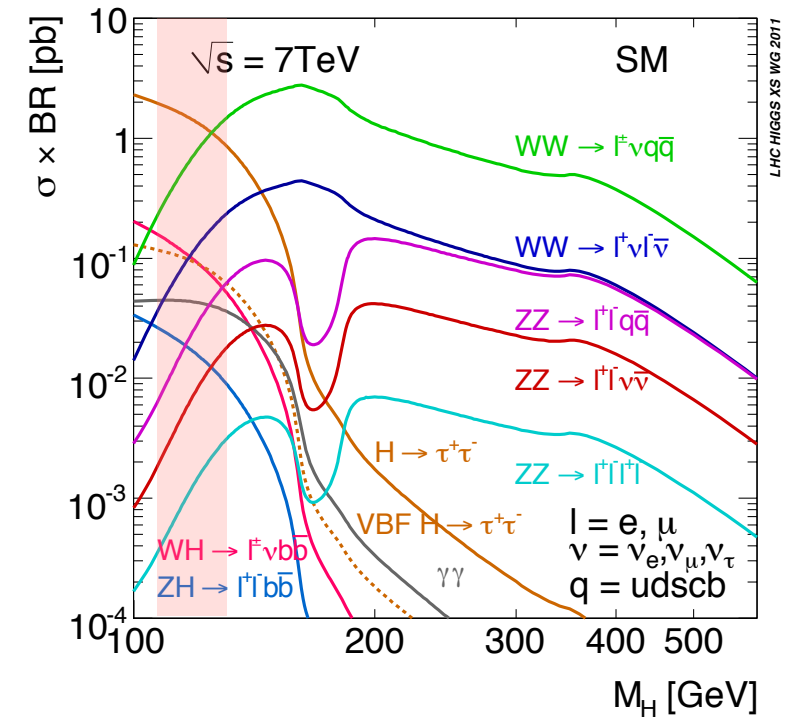


東京大学
THE UNIVERSITY OF TOKYO

ヒッグス粒子と τ レプトン崩壊過程

- タウレプトン対に崩壊するチャンネルは軽い領域で最も観測可能な事象数が多い

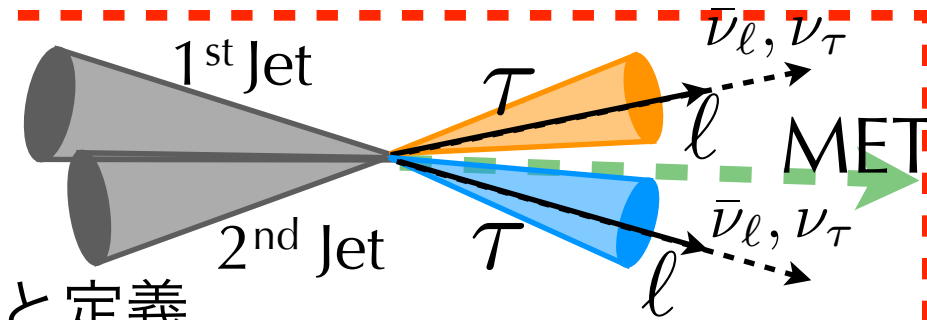
- $H \rightarrow \tau\tau$ channel
- lelep $\sim 1/9$ (small BG) This Talk
- lephad $\sim 4/9$ (good sensitivity)
- hadhad $\sim 4/9$ (bad S/N ratio)
- タウ粒子の崩壊分岐比
- $\tau \rightarrow \text{leptonic}(e, \mu) \sim 36\%$
- $\tau \rightarrow \text{hadronic}(\pi, K's) \sim 64\%$
- 1prong, 3prong



- ヒッグス粒子の生成過程、主に3process(ggF, VBF, **VH**)

● *associated production* ($VH = ZH + WH$)

- 数が少なくS/N($\sim 1/150$)が悪い(VBFに比べ一桁程度悪い)
- sensitivityを上げるためにHigh p_T Higgsを要求
- この場合W/ZもHigh p_T で、このようなイベントをBoostedと定義
- Boosted W/Zがhadronic崩壊しHigh p_T dijetになるイベントを解析にapplyした



- lelepチャンネルでは0,1,2jetについて解析した、本講演では主に

- 背景事象の見積もり(Fake)の導入
- VH Boosted categoryの導入

に絞って説明する

事象選択と背景事象

Base Selection

- (1) **Trigger:** Exact 2lepton with O.S.
- (2) **Z Veto:** $30 < m_{LL} < 75$ (SF: $ee, \mu\mu$), 100 (DF: $e\mu$) GeV
- (3) **Z, QCD suppress:** MET (missing E_T) > 40 (SF), 20 (DF) GeV
- (4) **Collinear (τ event enhance):** $0.1 < X_1, X_2 < 1.0$

$$x_{1,2} = \frac{p_{vis1,2}}{p_{vis1,2} + p_{miss1,2}} \quad m_{\tau\tau}^{collinear} = \frac{m_{\ell\ell}}{\sqrt{x_1 x_2}}$$

- (5) **Topological:** $0.5 < \Delta\phi_{LL} < 2.5$
- (6) **Jet Tag:** 1st Jet $p_T > 40$ GeV, 2nd Jet $p_T > 25$ GeV

● 主な背景事象

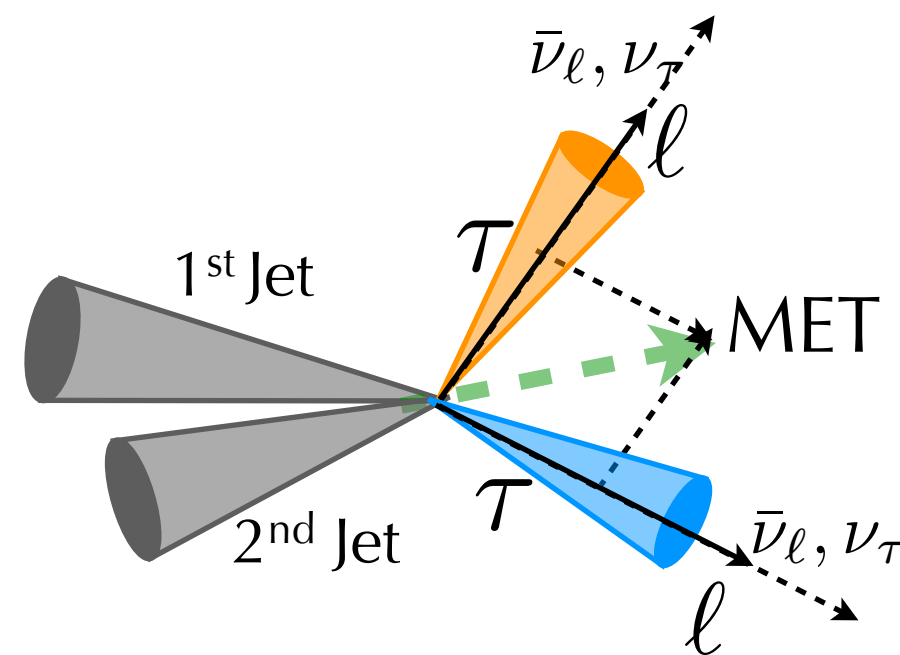
- $Z \rightarrow \tau\tau$: 最も大きいBG、 τ 粒子は本物
→ **Embedding Method**
 - 実際のデータで $Z \rightarrow \mu\mu$ イベントの $\mu \rightarrow \tau$ と置き換えシミュレーション
 - Jetなどがデータをそのまま使用できる

- **W+jets, QCD:** Jetがleptonにfakeしてしまい、MCではFakeイベントの評価は困難
→ **data driven (Fake Lepton method)**

- その他のBGはMCを用いて評価

2jet VH

- (7) $\Delta\eta_{JJ} < 2.0$
- (8) **$50 < m_{JJ} < 120$ GeV ($m_{W,Z}$ に近い)**
- (9) **b-tag Veto (top Veto):**
 $p_T > 25$ GeVの全てのJetに対して Veto



Fake estimation

- データから *Tight+Fakable lepton* なイベント (*Fakable CR*) を選択
- Tight lepton 1 本、Fakable な *LNT (Loose Not Tight)* lepton 1 本

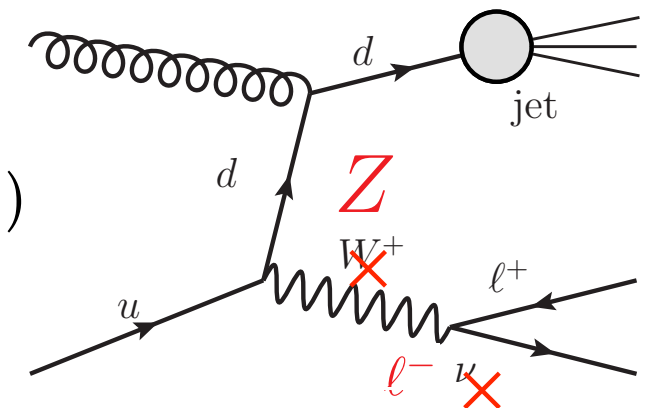
$$N_{1\text{Tight}+1\text{Fake}}^{\text{Estimated Fake BG}} = \frac{N_{\text{Tight}}}{N_{\text{LNT}}} \times N_{1\text{Tight}+1\text{LNT}}^{\text{Fakable CR}}$$

Fake Factor

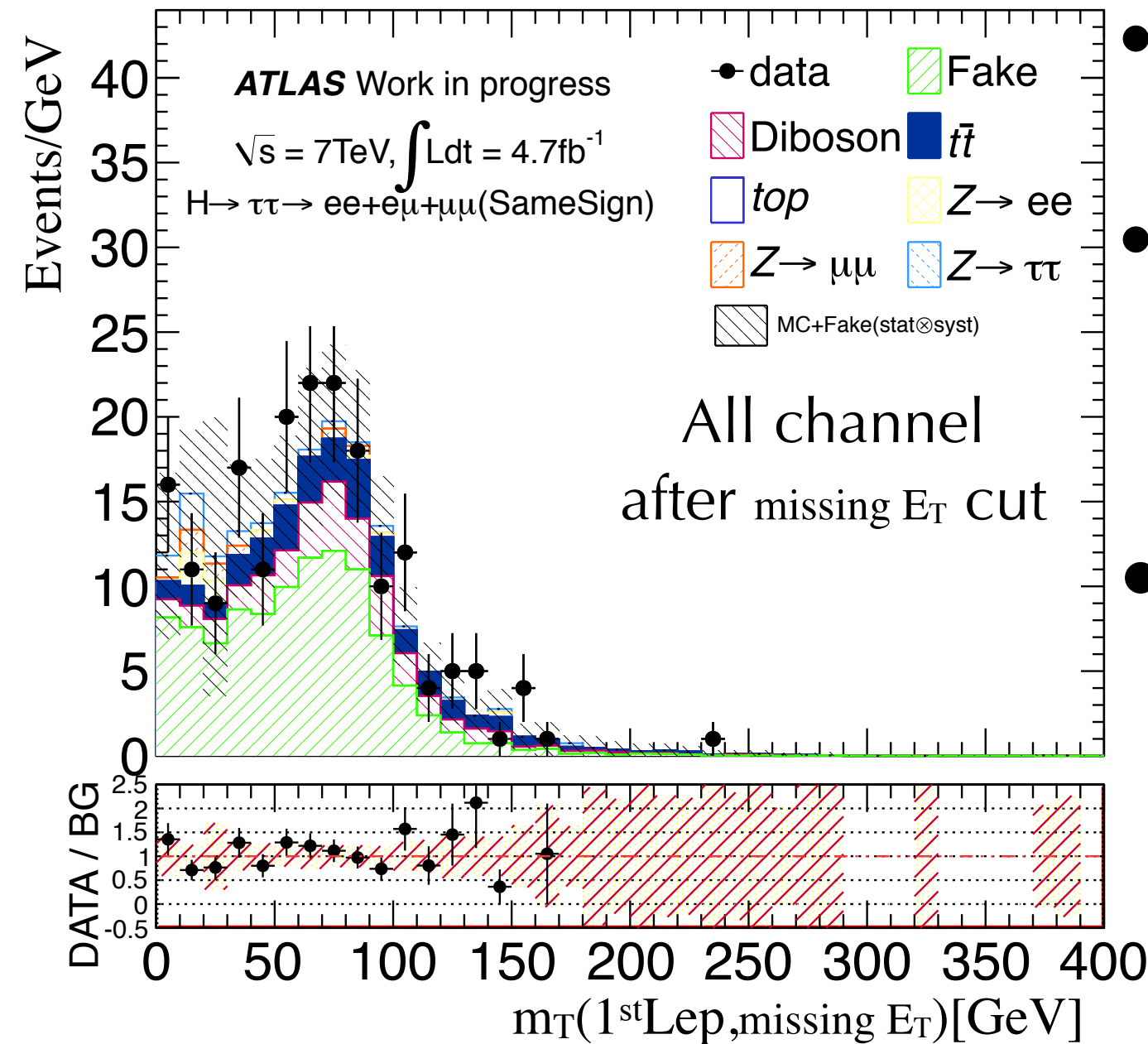
- Fake Factor を用いて Fakable CR から SR に Fake BG を外挿

- Loose だが Tight ではない lepton を *Loose Not Tight (LNT)* と定義

- Fake Factor は *Z+Jets* データ から見積もる
 - まず Z を タグする、タグした Z の他に W/Z が いれば イベント を Veto する
 - **長所**: quark/gluon jet 比 が W+Jets イベント と似ているため より 正確
また Z から の レプトン で トリガー を かける ため バイアス が 少ない
 - **短所**: 統計量 が 少なく、Diboson の イベント が 残る
- また *DiJet* から も 見積もる
 - **長所**: 高統計 (→ Muon Fake は 統計 が 少なく DiJet を 用いた)
 - **短所**: trigger bias, gluon jet が 多い

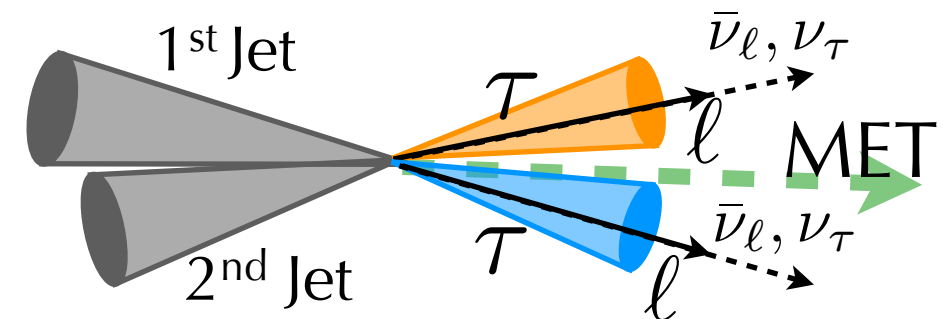
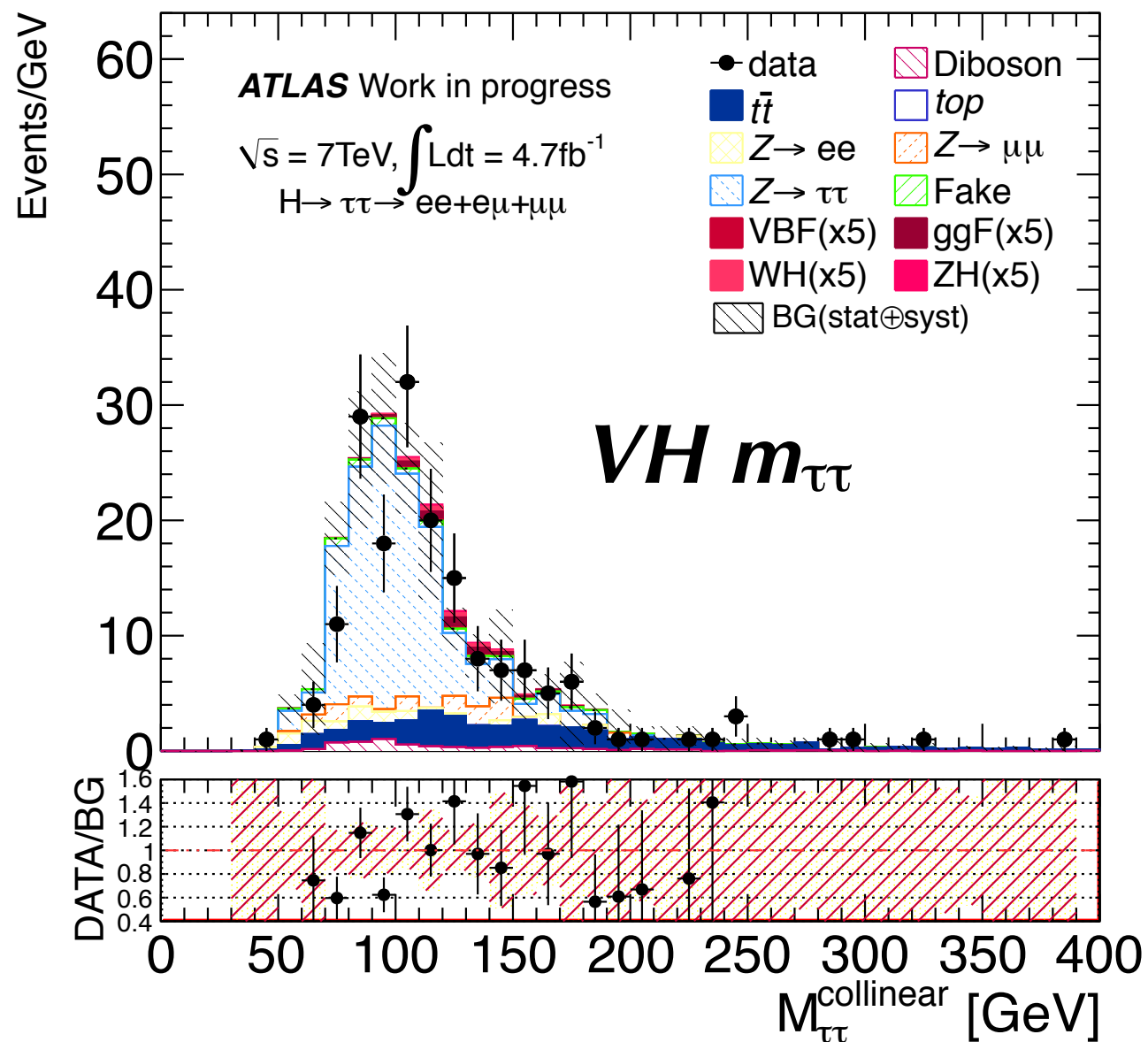


Fake estimation check



- Same SignはO.S.に比べEW BGの寄与が相対的に小さいためチェックに用いた
- Same SignでFake Factor apply後データを不定性の範囲でよく再現
 ✓methodの有効性を確認
- 今後の課題
 - 統計が増えたらMuon Fake FactorをZ+Jetsイベントを用いて計算
 - quark jet, gluon jetに対する違いを系統誤差として考慮する
 - Loose leptonの定義のさらなる最適化

VH Boosted category



$$S_{\text{Poi}} = \sqrt{2((s+b) \ln(1 + \frac{s}{b}) - s)}$$

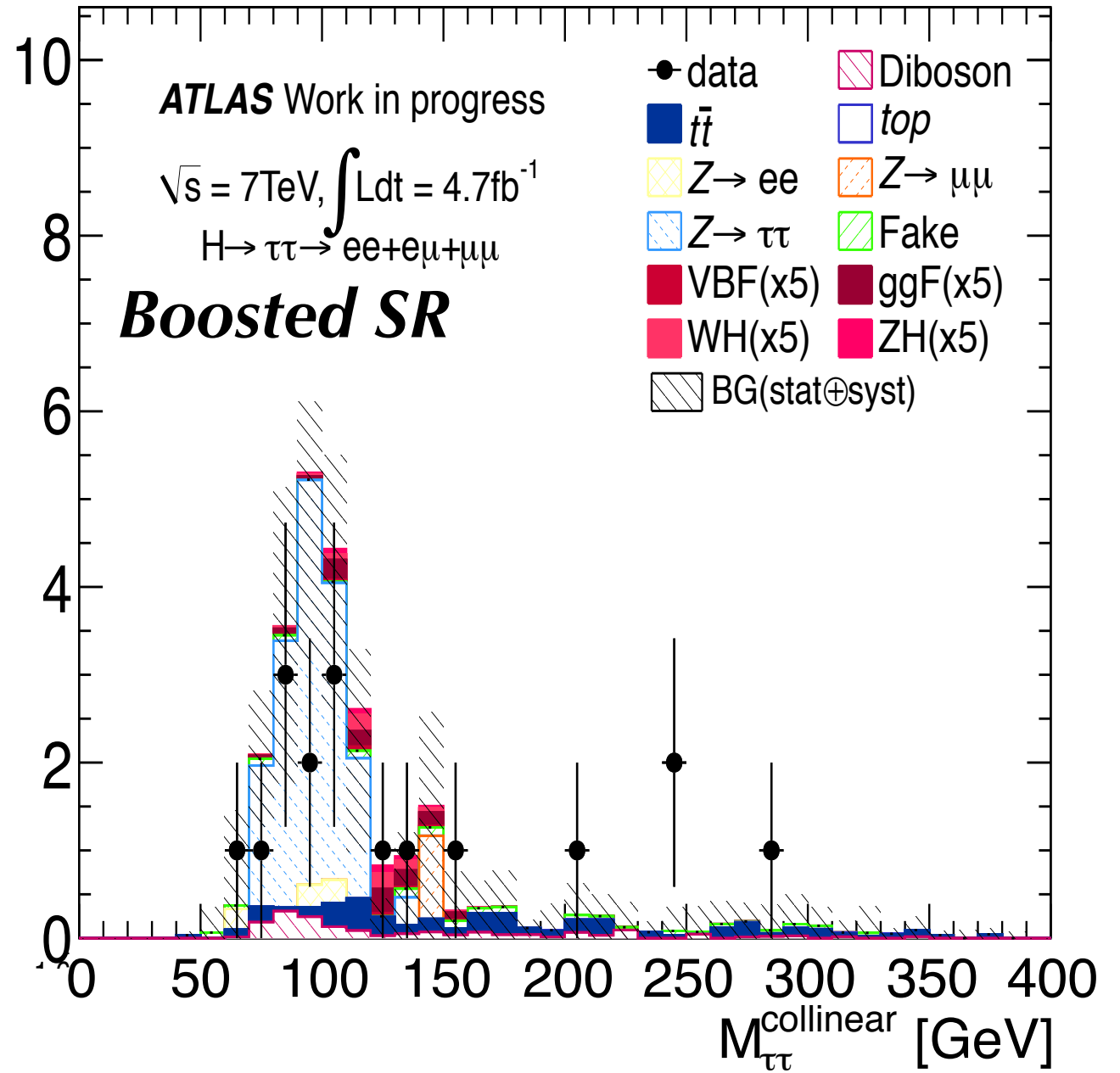
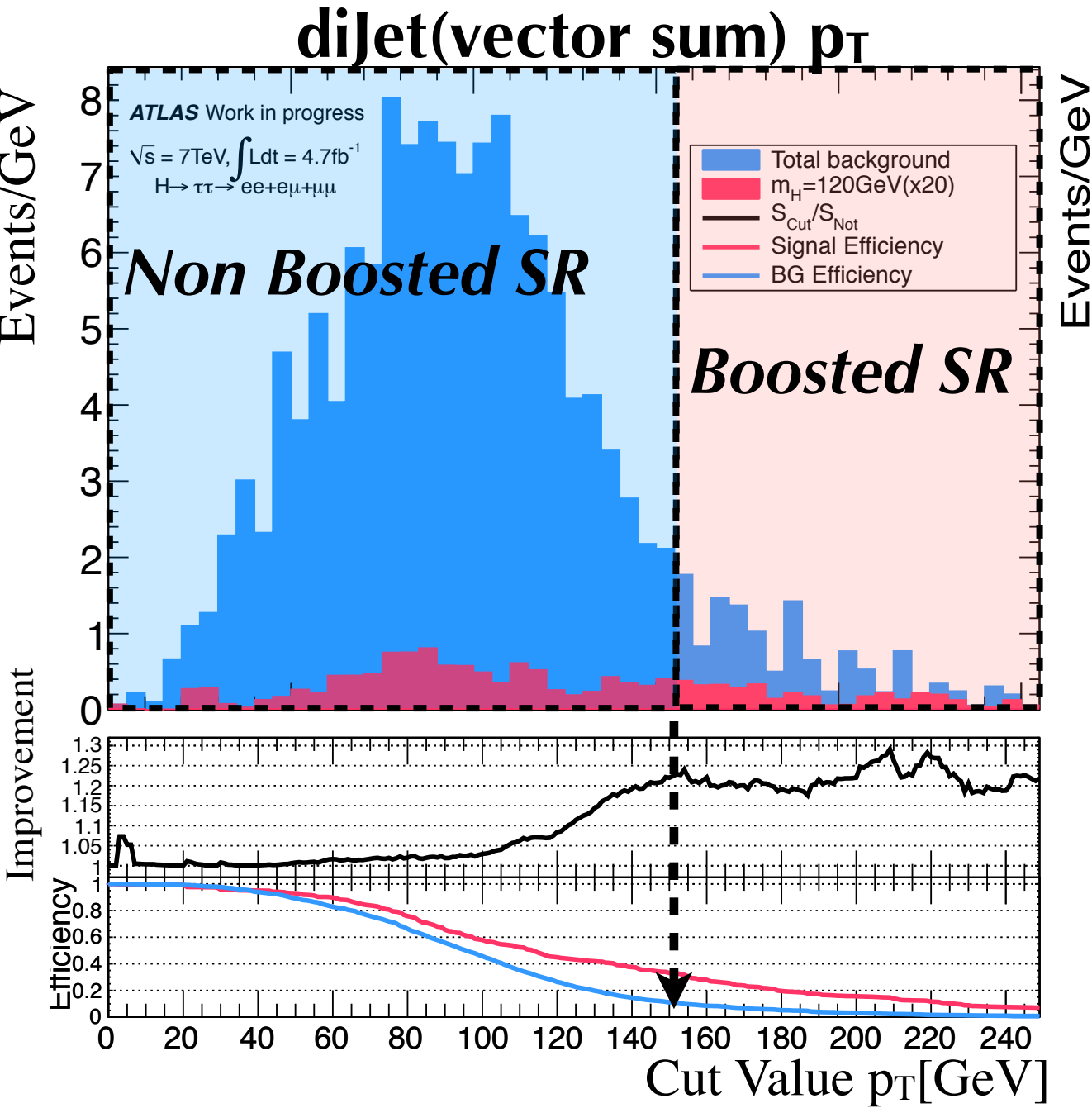
$$S_{1\text{categ}} = S(s_{\text{All}}, b_{\text{All}})$$

$$S_{2\text{categ}} = \sqrt{(S_{\text{high Pt}})^2 + (S_{\text{low Pt}})^2}$$

(Improvement = $S_{2\text{categ}}/S_{1\text{categ}}$)

- VH チャンネルはsensitivityが良くない(S/N ~ 1/150)
- ヒッグス粒子やW/Zが**Boost**されているイベントを考える
 - W/ZがHigh p_T diJetに崩壊
 - diJet p_T がhigh p_T , low p_T の領域に分け、Poisson significanceを計算
- Improvementが最大になる値でBoosted, Non Boosted categoryに分割

Boosted category



- Improvementは150GeV以上において約20%でほぼflat
- 信号事象数を出来るだけkeepするため150GeVで領域を分割
- Non Boostedでは約0.9events、 Boostedでは約0.4events
- 次に生成断面積に制限を設ける

Back Up!



leplep Jet category

Base Selection

- (1) Preselection and exactly 2leptons Opposite Sign.
- (2) **Z Veto:** $30 < m_{LL} < 75(100)\text{GeV}$ for SF(DF)
- (3) **Jet Tag:** 1st jet $p_T > 40\text{GeV}$ ($|JVF| > 0.75$ if $|\eta| < 2.4$)
- (4) **Z & QCD suppress:** $\text{MET} > 40(20)\text{GeV}$ for SF (DF)
- (5) **Collinear(τ enhance):** $0.1 < X1, X2 < 1.0$
- (6) **Topological:** $0.5 < \Delta\phi_{LL} < 2.5$

Not Pass (3)

0jet category

- (1) **Topo:** $\Delta\phi_{LL} > 2.5$
- (2) **Top suppress:**
 $\Sigma p_T < 120\text{GeV}$

2jet VBF

- (7) **Jet Tag:** 2nd jet $p_T > 20\text{GeV}$
- (8) **VBF Tag:** $\Delta\eta > 3.0$
- (9) **VBF Tag:** $m_{JJ} > 350\text{GeV}$
- (10) **Top suppress:** b-tag veto
- (11) **Central Jet Veto**

2jet VH

- (7) **Jet Tag:** 2nd jet $p_T > 25\text{GeV}$
- (8) **VH Tag:** $\Delta\eta < 2.0$
- (9) **VH Tag:** $50 < m_{JJ} < 120\text{GeV}$

Not Boosted

Excluding 2jet event

1jet category

- (8) $m_{HJ} > 225\text{GeV}$
- (9) b-tag veto

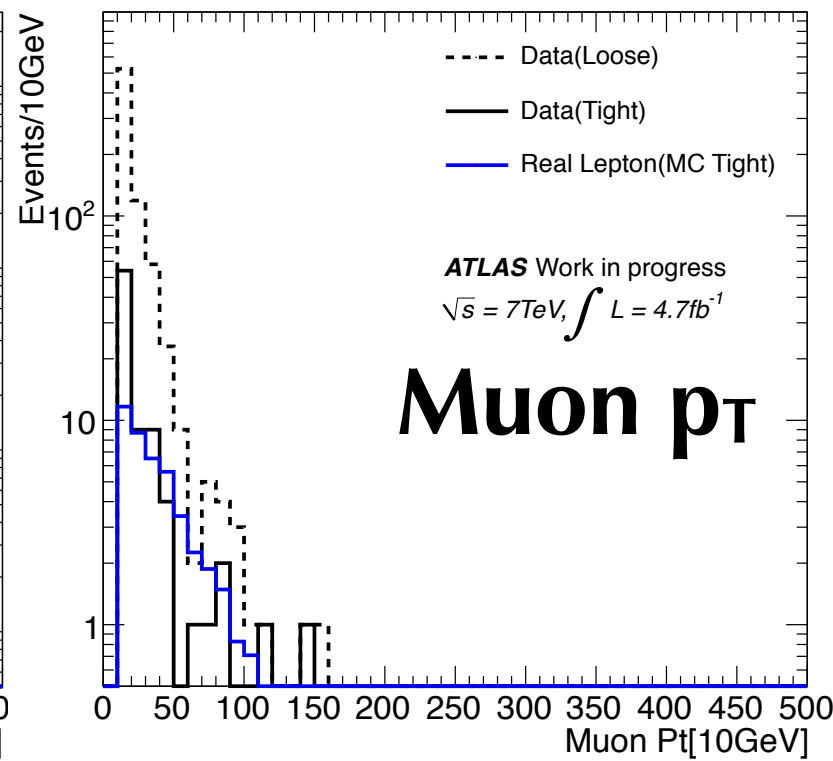
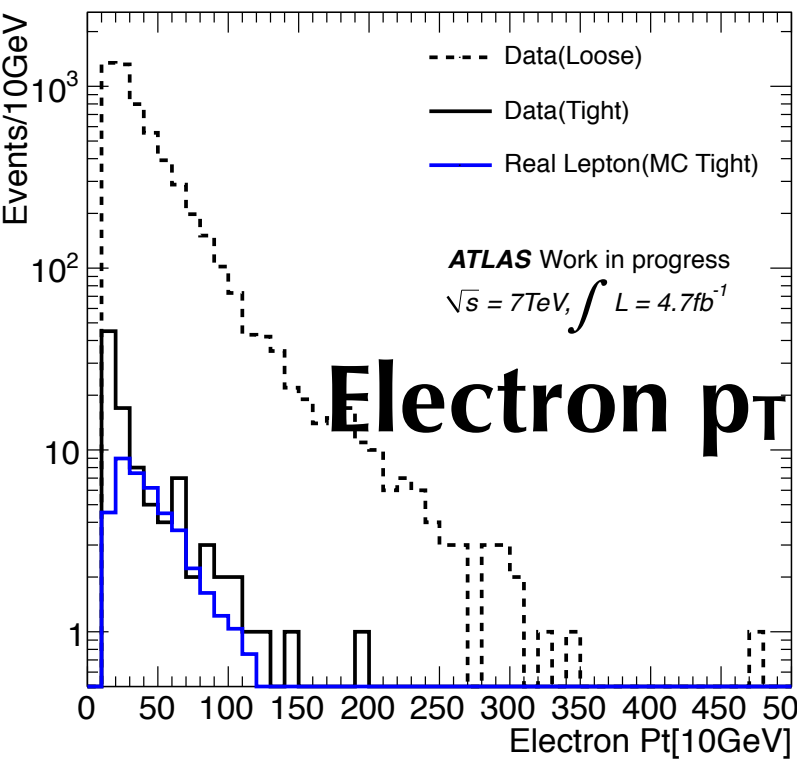
Not Boosted category

- (10) dijet $p_T < 150\text{GeV}$
- (11) b-tag veto

Boosted category

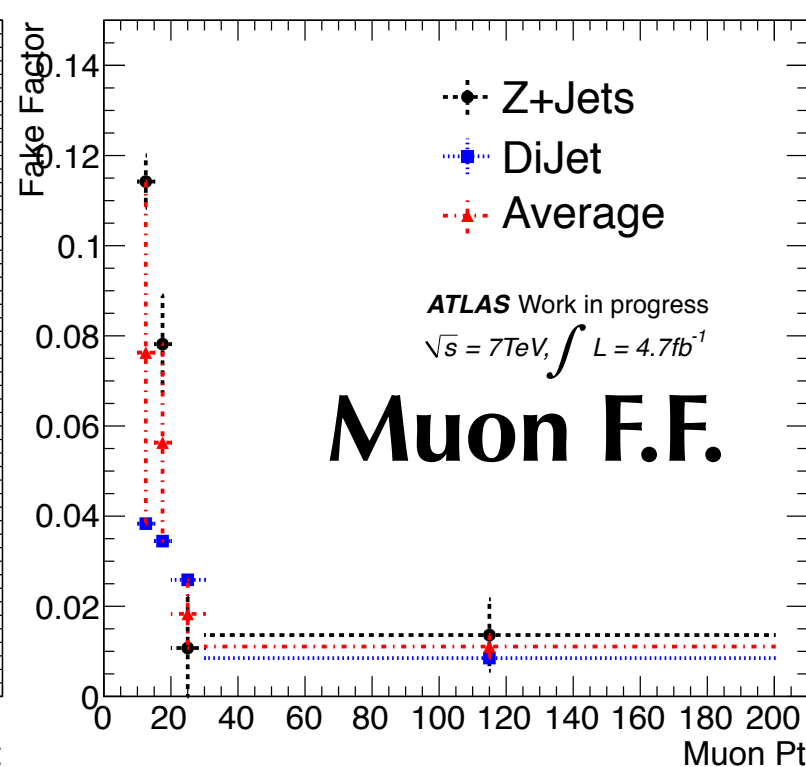
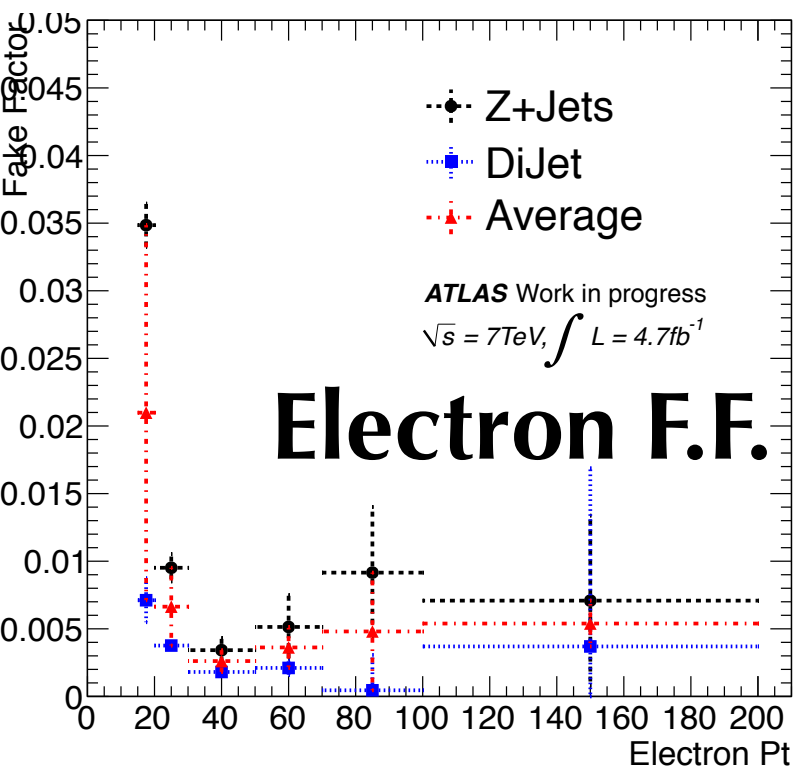
- (10) dijet $p_T > 150\text{GeV}$
- (11) b-tag veto

Fake Factor measurement



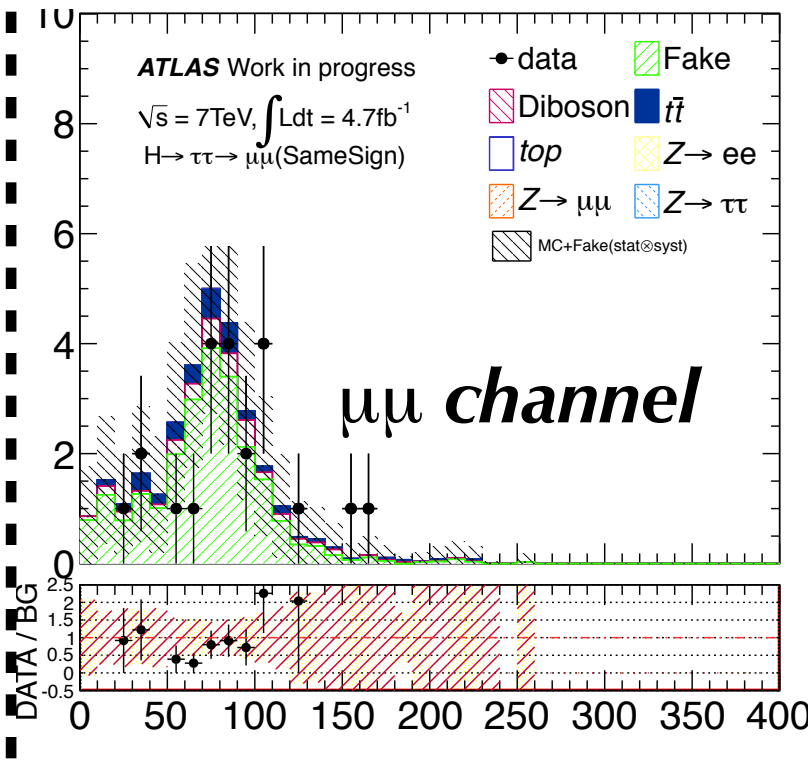
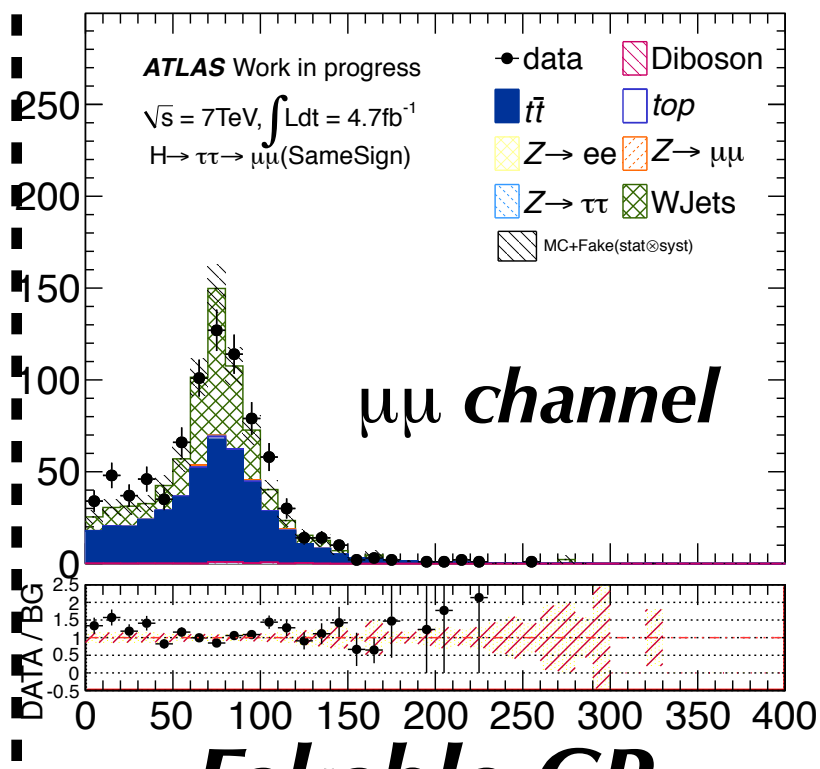
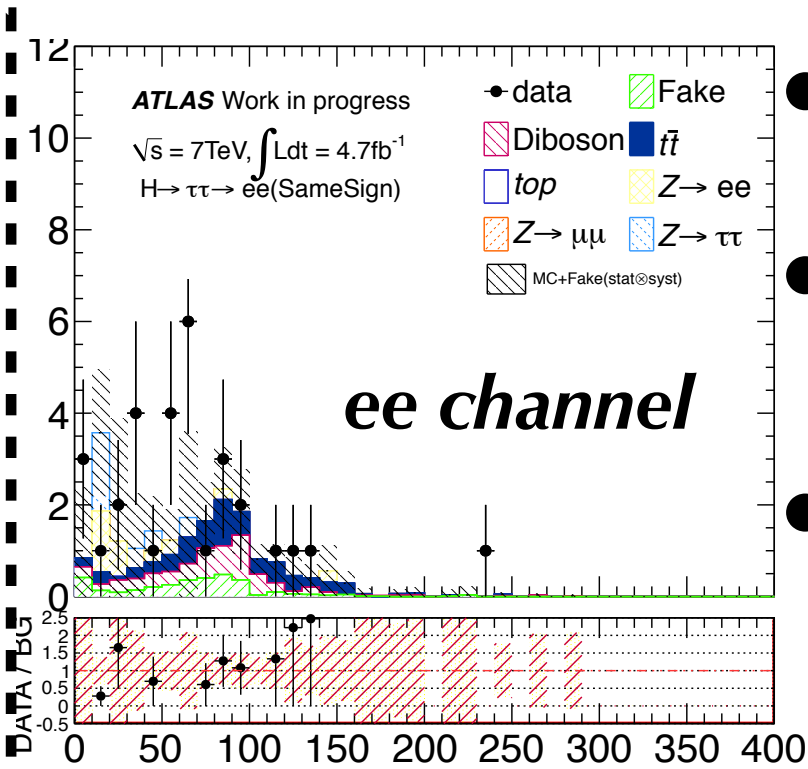
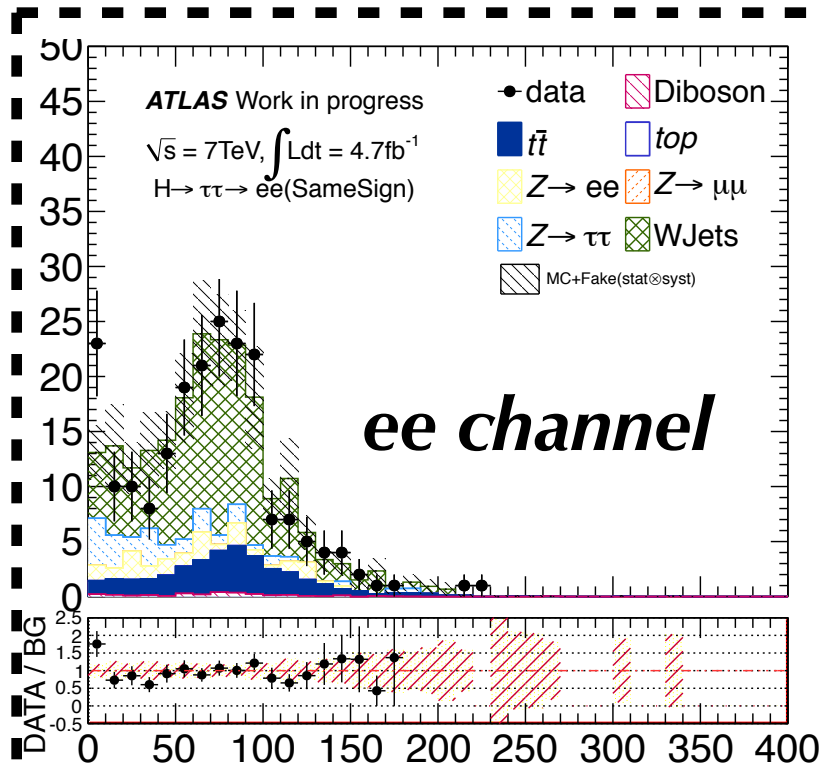
- F.F.はlepton p_T の関数
- 点線: Loose(Tight+LNT)
- 黒実線: Tight
- 青実線: MC Tight(主にDiboson)
- イベント数

| | Tight(MC) | Loose |
|----------|-----------|-------|
| Electron | 99(33.0) | 5491 |
| Muon | 82(33.2) | 752 |



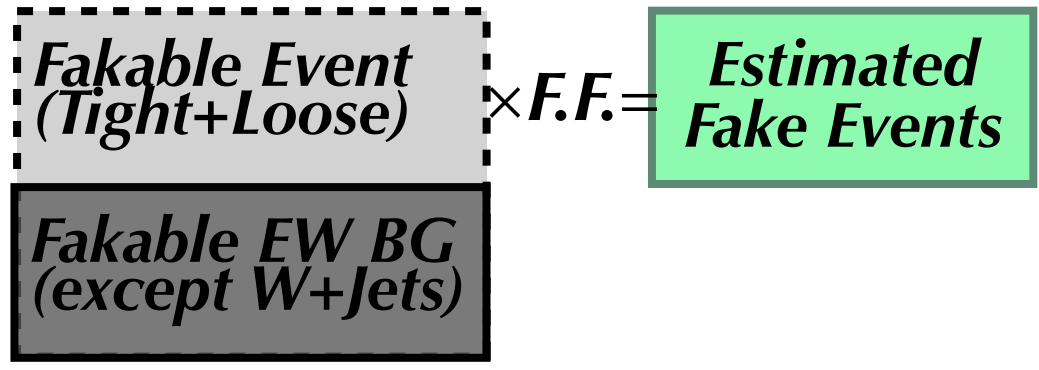
- 統計があるならZ+Jets
 ➡ Electron
- 統計がないならDiJet
 ➡ Muon
- Z+Jetsとの差分を系統誤差に考慮

Fake event check

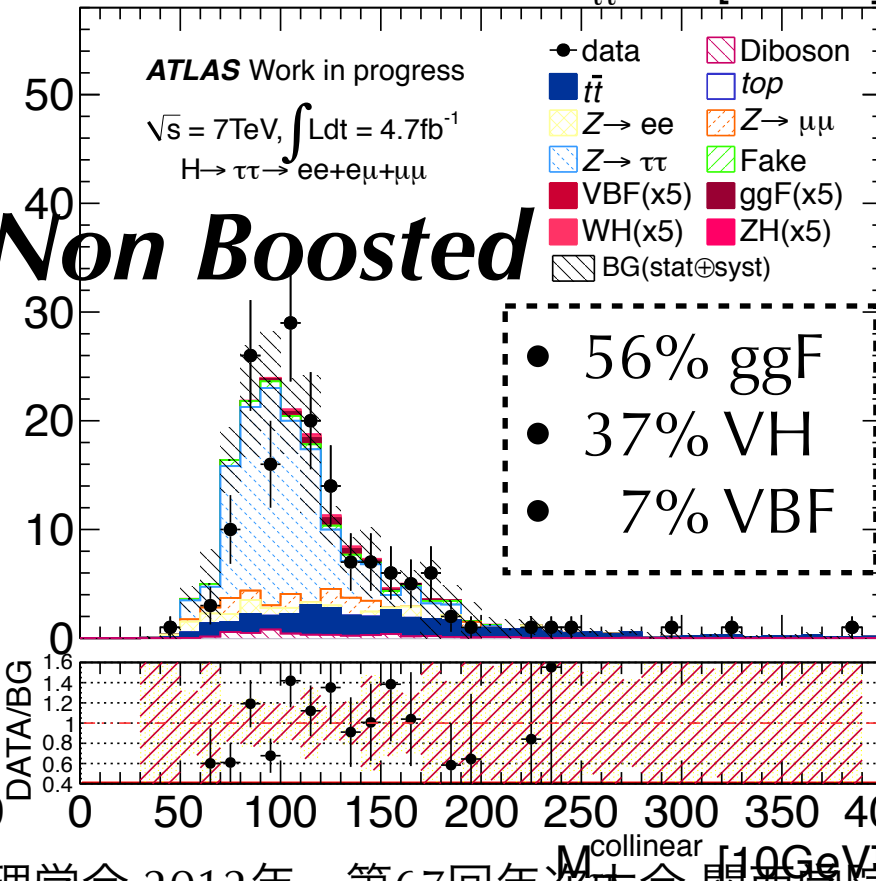
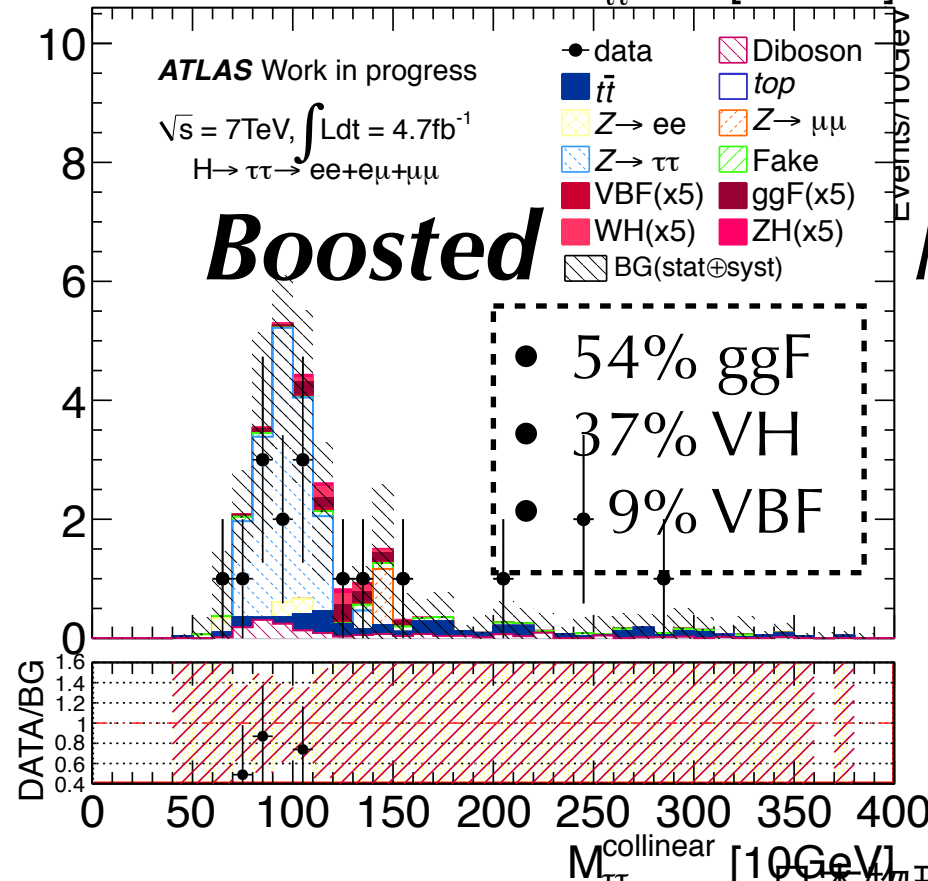
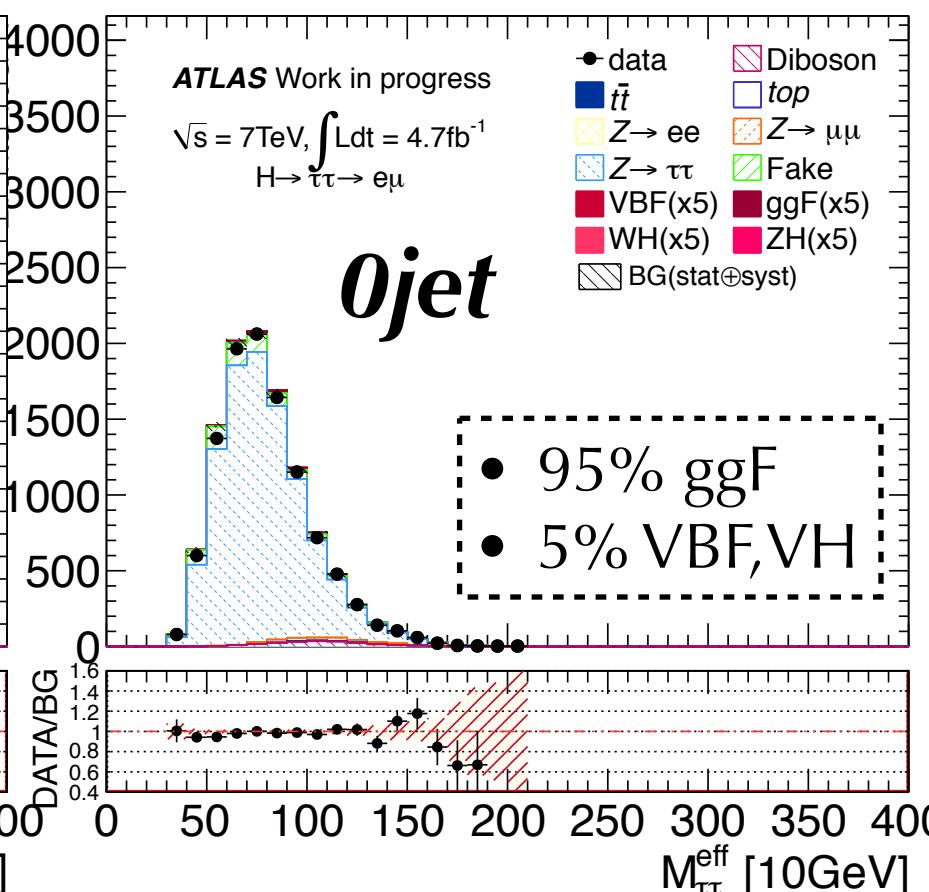
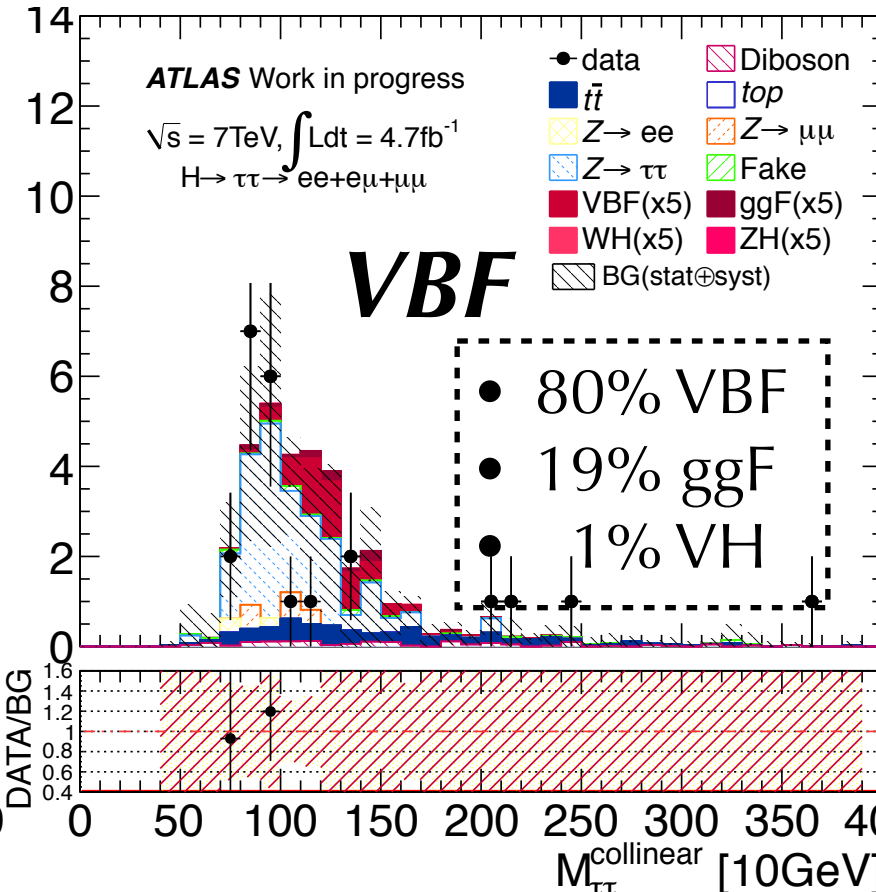
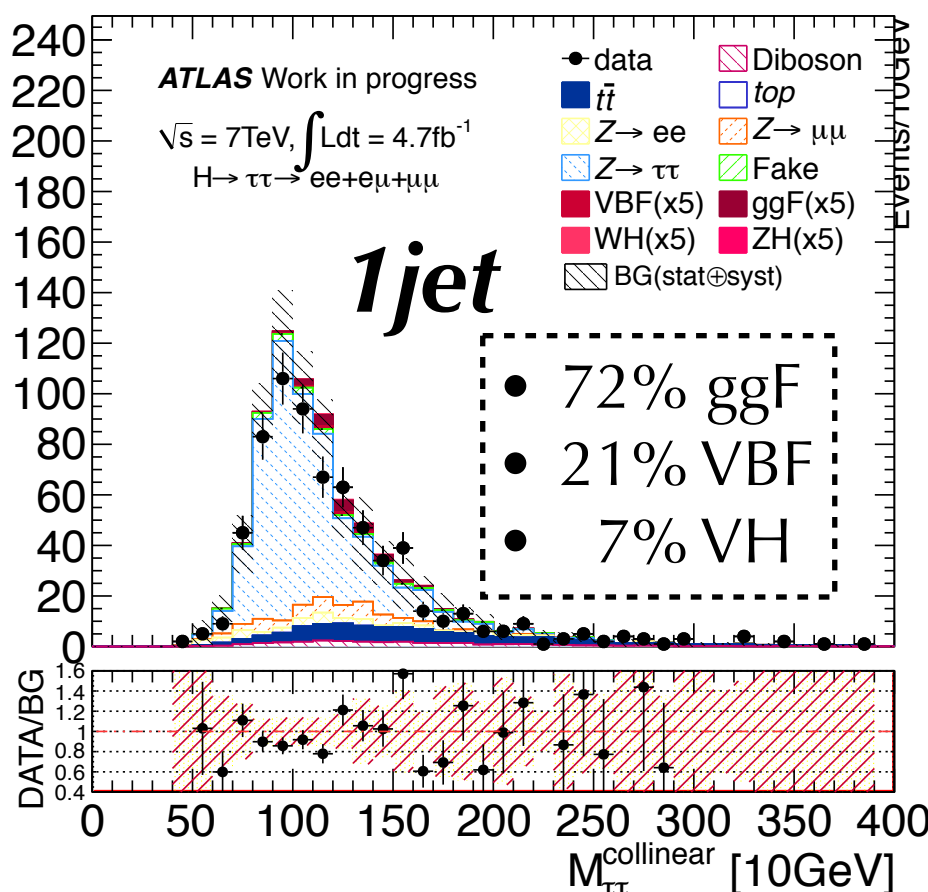


- Same SignでのFakable CRでmethodの有効性をチェック
- SameSignはO.S.に比べEWバックグラウンドが相対的に小さい
- MET要求後の m_T 分布
 - 緑網掛け部分がW+Jets
 - 黒点からW+Jets以外のEW BGのコンタミを差し引いてF.F.を適用
- Same Sign Fakable CRではW+Jetsを含めて再現

Fakable CR



Mass distribution



• 全ての質量領域でデータ分布に有意なヒッグス粒子の兆候は観測されなかった
 • 全チャンネルをコンバインして制限を付ける

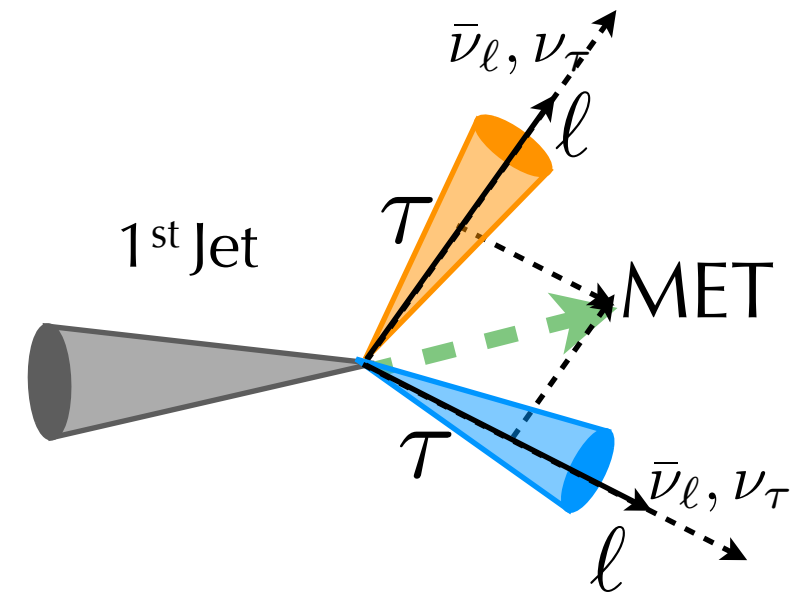
Mass Reconstruction

- **Effective Mass:** METと2leptonで組んだ質量
 - back-to-backに τ 粒子が出る(0jet category)→Collinear近似出来ない

$$M_{\tau\tau}^{\text{eff}} = \sqrt{(p_e + p_\mu + E_T^{\text{miss}})^\lambda (p_e + p_\mu + E_T^{\text{miss}})_\lambda}$$

- **Collinear Mass:** τ 粒子の質量1.777GeV
 - 崩壊粒子は全て同じ方向と仮定

$$m_{\tau\tau}^{\text{collinear}} = \frac{m_{\ell\ell}}{\sqrt{x_1 x_2}} \quad x_{1,2} = \frac{p_{\text{vis}1,2}}{p_{\text{vis}1,2} + p_{\text{miss}1,2}}$$



- **Missing Mass Calculator(MMC):**

- τ 粒子と崩壊粒子群との角度 θ_{3D} 分布でLikelihoodで再構成
- Collinear Massより再構成の効率が良い
- leptonic decayは ν が2本であるため効率が下がる

